

**МЕХАНИКА  
ТВЕРДОГО ТЕЛА  
№ 3 • 1991**

УДК 539.3:534.1

© 1991 г.

А. А. ЛЯПИН

**ВОЗБУЖДЕНИЕ ВОЛН В СЛОИСТОМ ПОЛУПРОСТРАНСТВЕ  
СО СФЕРИЧЕСКОЙ ПОЛОСТЬЮ**

Рассматриваются установившиеся гармонические колебания слоистого упругого полупространства со сферической полостью при осесимметричной деформации среды. Краевая задача сведена к бесконечной системе линейных алгебраических уравнений, допускающей эффективное численное исследование в диапазоне длинных и средних волн. Использование формул переразложения решений уравнения Гельмгольца для различных систем координат позволяет достаточно просто исследовать ряд задач акустики, а также задачи о распространении упругих колебаний в твердых телах с полостями канонической (цилиндр, сфера) конфигурации [1, 2, 3]. Данная методика применяется здесь к изучению задачи для слоистого полупространства со сферической полостью, генерирующей осесимметричные гармонические колебания.

**1. Постановка задачи.** Пусть упругая среда занимает в цилиндрической системе координат  $(R, Z, \theta)$  область (фиг. 1):

$$D = D_1 \cup D_2 \cup \dots \cup D_N, \quad D_i = \{Z < 0, R > 0, \theta \in (0, 2\pi)\}$$

$$r = (R^2 + (Z + h_1)^2)^{\frac{1}{2}} > a, \quad D_j = \{Z \in (Z_{j-1}, Z_j)\}$$

$$R > 0, \quad \theta \in (0, 2\pi), \quad j = 2, \dots, N$$

Здесь  $h$ ,  $a$  ( $a < h$ ) — величина заглубления и радиус полости,  $Z_1 = 0$ ,  $Z_j = Z_{j-1} + h_j$ ,  $j = 2, \dots, N$ ,  $h_j$  — толщины слоев. Свойства среды в области  $D_j$  характеризуются параметрами  $\mu_j$ ,  $V_{pj}$ ,  $V_{sj}$  (соответственно модуль сдвига и скорости распространения продольных и поперечных волн). С центром полости связем сферическую систему координат  $(r, \varphi, \theta)$ . Далее все величины, имеющие размерность длины, будут отнесены к  $a$ , а имеющие размерность напряжений — к  $\mu_1$ .

Амплитудные функции перемещений точек среды в  $D_j$ , удовлетворяющие уравнениям Ламе, ищем в виде контурных интегралов в соответствии с принципом предельного поглощения [4]:

$$u_k^{(j)}(R, Z) = \gamma_j \int_{\Gamma} \{[V^{(j)}(\alpha, Z) \cdot \mathbf{R}^{*(j-1)}(\alpha) + W^{(j)}(\alpha, Z) \cdot \mathbf{R}^{*(j)}(\alpha)]\}_k$$

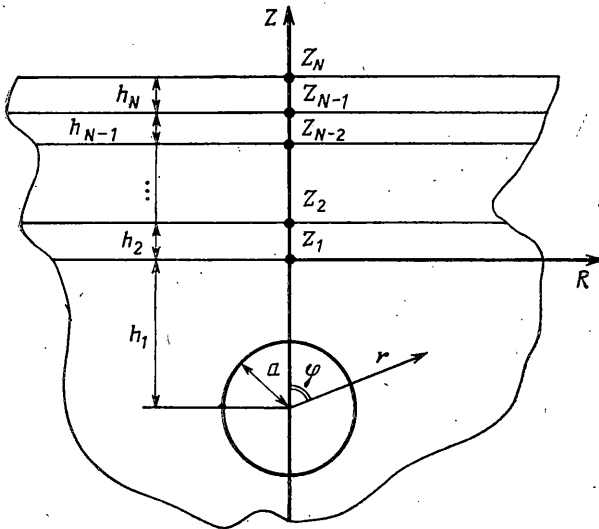
$$\alpha J_{k-1}(\alpha R) d\alpha, \quad \gamma_j = \mu_1 / \mu_j, \quad u_1^{(j)} \equiv u_z^{(j)}, \quad u_2^{(j)} \equiv u_R^{(j)}, \quad j = 2, \dots, N$$

Здесь  $\mathbf{R}^{*(j-1)}$ ,  $\mathbf{R}^{*(j)}$  — трансформанты Ханкеля векторов напряжений на нижней и верхней гранях слоев  $D_j$ :

$$V_{21}^{(j)} = \alpha [4\alpha^2 \zeta_j^2 f_{12}^{(j)}(Z) + 2\zeta_j^4 f_{21}^{(j)}(Z) + \zeta_j g_{12}^{(j)}(Z) + 8\alpha^2 \lambda_{1j}^{-2} \lambda_{2j}^{-2} g_{21}^{(j)}(Z)] / \Delta_j(\alpha)$$

$$\Delta_j(\alpha) = 8\zeta_j^4 f_{12}^{(j)}(0) - [\zeta_j^8 + 16\alpha^2 \lambda_{1j}^{-2} \lambda_{2j}^{-2}] g_{12}^{(j)}(0) \quad (1.1)$$

$$f_{mn}^{(j)}(Z) = \operatorname{ch} \lambda_{mj} \xi_j - \operatorname{ch} \lambda_{nj} h_j \operatorname{ch} \lambda_{mj} \eta_j$$



Фиг. 1

$$g_{mn}^{(j)}(Z) = (\sinh \lambda_{nj} h_j \sinh \lambda_{mj} \eta_j) / (\lambda_{nj} \lambda_{mj}), \quad \xi_j = Z + Z_j \\ \eta_j = -Z + Z_{j+1}, \quad \lambda_{1j}^2 = \alpha^2 - \theta_{1j}^2, \quad \lambda_{2j}^2 = \alpha^2 - \theta_{2j}^2 \\ \xi_j^2 = \alpha^2 + \lambda_{2j}^2, \quad \theta_{1j}^2 = \omega^2 a^2 / V_{pj}^2, \quad \theta_{2j}^2 = \omega^2 a^2 / V_{sj}^2 \quad (1.2)$$

Здесь  $V_{12}^{(j)}$  соответствует  $V_{21}^{(j)}$  с заменой  $f_{mn}^{(j)} \rightarrow f_{nm}^{(j)}$ ,  $g_{mn}^{(j)} \rightarrow g_{nm}^{(j)}$ ,  $V_{11}^{(j)}$  получается из (1.1) заменой

$$f_{12}^{(j)} \rightarrow -\frac{\partial f_{12}^{(j)}}{\partial Z} / \alpha, \quad g_{12}^{(j)} \rightarrow -\frac{\partial g_{12}^{(j)}}{\partial Z} / \alpha, \quad f_{21}^{(j)} \rightarrow -\alpha \frac{\partial f_{21}^{(j)}}{\partial Z} / \lambda_{2j}^2, \\ g_{21}^{(j)} \rightarrow -\alpha \frac{\partial g_{21}^{(j)}}{\partial Z} / \lambda_{2j}^2$$

Соответственно для  $V_{22}^{(j)}$ :

$$f_{12}^{(j)} \rightarrow -\frac{\partial f_{21}^{(j)}}{\partial Z} / \alpha, \quad g_{12}^{(j)} \rightarrow -\frac{\partial g_{21}^{(j)}}{\partial Z} / \alpha, \quad f_{21}^{(j)} \rightarrow -\alpha \frac{\partial f_{12}^{(j)}}{\partial Z} / \lambda_{1j}^2, \\ g_{21}^{(j)} \rightarrow -\alpha \frac{\partial g_{12}^{(j)}}{\partial Z} / \lambda_{1j}^2$$

$W_{mn}^{(j)}$  соответствуют  $W_{mn}^{(j)}$  с заменой  $\xi_j$  на  $\eta_j$  и  $\eta_j$  на  $\xi_j$ , а также изменением у выражения для  $W_{11}$  знака на противоположный.

Для  $u^{(1)}(R, Z)$  с применением принципа суперпозиции [5] имеем:

$$u^{(1)}(R, Z) = u^{(1,1)}(R, Z) + u^{(1,2)}(R, Z) \quad (1.3)$$

$$u^{(1,1)}(R, Z) = \text{col}\{v_1^{(1,1)} \cos \varphi - u_2^{(1,1)} \sin \varphi, v_1^{(1,1)} \sin \varphi + u_2^{(1,1)} \cos \varphi\}$$

Здесь  $v^{(1,1)}$  — поле смещений в сферической системе координат от действия осциллирующей полости в упругом пространстве при заданном векторе напряжений на полости  $\mathbf{Y}(\varphi)$ ;  $u^{(1,2)}$  — смещения точек однородного полупространства без полости при заданном на границе  $Z=0$  векторе на-

пряжений  $X(R)$ . Вектор-функции  $Y, X$  считаются неизвестными и подлежат последующему определению.

Функции  $v^{(1,1)}$  определяются представлением  $v^{(1,1)} = \text{grad } \Phi - \text{rot} \cdot (e_\theta \partial \Psi / \partial \varphi)$ , где волновые потенциалы  $\Phi, \Psi$  имеют вид (сумма по  $n=0, 1, \dots, \infty$ ):

$$\Phi = \sum A_n h_n^{(1)}(\theta_{11}r) P_n(\cos \varphi), \quad \Psi = \sum B_n h_n^{(1)}(\theta_{12}r) P_n(\cos \varphi)$$

$\theta_{11} = \omega a / V_{p1}$ ,  $\theta_{12} = \omega a / V_{s1}$ ;  $h_n^{(1)}$  — сферические функции Ханкеля,  $P_n(\cos \varphi)$  — полиномы Лежандра.

Константы  $A_n, B_n$  однозначным образом отыскиваются из граничного условия  $t^{(1,1)}|_{r=1} = Y(\varphi)$  через коэффициенты  $Y^{(n)}$  разложения  $Y(\varphi)$  по функциям  $P_n v(\cos \varphi)$ ,  $v=0, 1$ .

Здесь и далее символом  $t^{(j)}$  обозначен вектор напряжений на соответствующей граничной поверхности области  $D_j$ ;  $t^{(1)} = t^{(1,1)} + t^{(1,2)}$  в соответствии с (1.3). Для  $u^{(1,2)}$  имеем

$$u_h^{(1,2)} = \int_{\Gamma} \{P(\alpha, Z) \cdot X^*(\alpha)\}_h J_{h-i}(\alpha R) \alpha d\alpha$$

$$P_{11}(\alpha, Z) = \lambda_{11} (\zeta_1^2 \exp[\lambda_{11}Z] - 2\alpha^2 \exp[\lambda_{21}Z]) / \Delta_R(\alpha)$$

$$P_{12}(\alpha, Z) = \alpha (2\lambda_{11}\lambda_{21} \exp[\lambda_{11}Z] - \zeta_1^2 \exp[\lambda_{21}Z]) / \Delta_R(\alpha)$$

$$P_{21}(\alpha, Z) = \alpha (-\zeta_1^2 \exp[\lambda_{11}Z] + 2\lambda_{11}\lambda_{21} \exp[\lambda_{21}Z]) / \Delta_R(\alpha)$$

$$P_{22}(\alpha, Z) = \lambda_{21} (-2\alpha^2 \exp[\lambda_{11}Z] + \zeta_1^2 \exp[\lambda_{21}Z]) / \Delta_R(\alpha)$$

$$\Delta_R(\alpha) = \zeta_1^4 - 4\lambda_{11}\lambda_{21}\alpha^2$$

где  $\lambda_{11}, \zeta_1^2$  имеют вид (1.2).

2. Сведение граничной задачи к системе функциональных уравнений.

Удовлетворение граничных условий исходной краевой задачи  $t^{(1)}|_{r=1} = \tau(\varphi)$ ,  $t^{(N)}|_{z=z_N} = T(R) = R^{(N)}(R)$  и условий стыковки слоев

$$u^{(j)}(R, Z_j) = u^{(j+1)}(R, Z_j), \quad (j=1, \dots, N-1) \quad (2.1)$$

приводит к системе функциональных уравнений второго рода относительно неизвестных  $X^*, Y, R^{*(1)}$ :

$$Y(\varphi) + t^{(1,2)}(\varphi)|_{r=1} = \tau(\varphi), \quad (2.2)$$

$$X^*(\alpha) + t^{*(1,1)}(\alpha)|_{z=0} = R^{*(1)}(\alpha)$$

$$P(\alpha, 0) \cdot X^*(\alpha) + u^{*(1,1)}(\alpha)|_{z=0} = Q(\alpha) \cdot R^{*(1)}(\alpha) + S(\alpha) \cdot T^*(\alpha)$$

Матрицы  $Q, S$  получены последовательным исключением функций  $R^{*(j)}(\alpha)$ ,  $j=2, \dots, N-1$  из условий (2.1). Здесь

$$f^*(\alpha) = H_v[f(R)] = \int_0^\infty f(R) J_v(\alpha R) R dR$$

Вектор-функции  $t^{*(1,1)}(\alpha)$ ,  $u^{*(1,1)}(\alpha)$  выписываются в явном виде с применением для  $\Phi$  и  $\partial \Psi / \partial \varphi$  формул переразложения сферических функций по решениям уравнения Гельмгольца в цилиндрической системе координат [6]:

$$h_n^{(1)}(\theta_{j1}r) P_n v(\cos \varphi) = \frac{i^{n-1}}{\theta_{j1}} \int_{\Gamma} P_n v \left( \frac{i\lambda_{j1}}{\theta_{j1}} \right) \exp[-(Z+h_1)\lambda_{j1}] J_v(\alpha R) \alpha d\alpha / \lambda_{j1}$$

где  $P_n^v(\cos \varphi)$  — функции Лежандра на разрезе, а  $P_n^v(i\lambda_{j1}/\theta_{j1})$  при  $\alpha < -\theta_{21}$  — функции комплексного аргумента с исчезающей мнимой частью.

Компоненты векторов  $\mathbf{u}^{*(1,1)} = \{u_z^{*(1,1)}, u_r^{*(1,1)}\}$ ,  $\mathbf{t}^{*(1,1)} = \{\sigma_z^{*(1,1)}, \tau_{rz}^{*(1,1)}\}$  имеют вид

$$\text{col}\{u_z^{*(1,1)}, u_r^{*(1,1)}, \sigma_z^{*(1,1)}, \tau_{rz}^{*(1,1)}\} = \sum_{n=0}^{\infty} i^{-n+1} \{f A_n \exp[-(Z+h_1)\lambda_{11}] \times \\ \times P_n(i\lambda_{11}/\theta_{11}) + g B_n \exp[-(Z+h_1)\lambda_{21}] P_n(i\lambda_{21}/\theta_{21}), \quad |Z| < h_1 \\ f_1 = 1/\theta_{11}, \quad f_2 = -\alpha/(\theta_{11}, \lambda_{11}), \quad f_3 = (2\alpha^2 - \theta_{11}^2)/(\theta_{11}\lambda_{11}), \quad f_4 = 2\alpha/\theta_{11}, \\ g_1 = \alpha/(\theta_{21}\lambda_{21}), \quad g_2 = -1/\theta_{21}, \quad g_3 = 2\alpha/\theta_{21}, \quad g_4 = (\alpha^2 + \lambda_{21}^2)/(\theta_{21}\lambda_{21}) \quad (2.3)$$

Оператор  $\mathbf{t}^{(1,2)}(\varphi)$  легко получить с использованием закона Гука для соотношений (1.4) и последующим переходом к сферической системе координат  $(r, \varphi, \theta)$  в виде:

$$\mathbf{t}^{(1,2)}(\varphi)|_{r=1} = \int \sum_{m,v=1}^2 \mathbf{L}^{mv}(\alpha, \varphi) \cdot \mathbf{X}^*(\alpha) \exp[\lambda_{m1} Z] \alpha J_v(\alpha R) d\alpha$$

Обращая последние уравнения системы (2.2) относительно функций  $X^*$  с учетом (2.3), получим явное представление

$$\mathbf{X}^*(\alpha) = \sum_{n=0}^{\infty} \mathbf{K}_n(\alpha, h_j, \gamma_j, \theta_{1j}, \theta_{2j}) \cdot \mathbf{Y}^{(n)} + \mathbf{M}(\alpha) \cdot \mathbf{T}^*(\alpha) \quad (2.4)$$

Определитель системы при данном обращении на  $\Gamma$  не равен нулю. Первое уравнение системы (2.2) разлагается далее по полной ортогональной системе функций  $P_l^h(\cos \varphi)$ , и с применением формул переразложения:

$$\exp[Z\lambda_{m1}] J_m(\alpha R) = \sum_{n=m}^{\infty} (-1)^m i^n (2n+1)(n-m)!/(n+m)! \\ P_n^m(i\lambda_{j1}/\theta_{j1}) j_n(\theta_{j1} r) P_n^m(\cos \varphi)$$

получим  $(L^{mvl}(\alpha))$  — известны:

$$\mathbf{t}^{(1,2)}(\varphi)|_{r=1} = \sum_{l=0}^{\infty} \mathbf{A}_l P_l^v(\cos \varphi), \quad \mathbf{A}_l = \int \sum_{m,v=1}^2 \mathbf{L}^{mv}(\alpha) \cdot \mathbf{X}^*(\alpha) \exp[-\lambda_{m1} h_1] d\alpha \quad (2.5)$$

В результате для определения  $\mathbf{Y}^{(n)}$  из соотношений (2.4), (2.5) получим бесконечную систему линейных алгебраических уравнений

$$\dot{\mathbf{Y}}^{(l)} + \sum_{k=0}^{\infty} \mathbf{B}_{lk} \cdot \mathbf{Y}^{(k)} = \mathbf{t}^{(l)} + \boldsymbol{\sigma}^{(l)} \quad (2.6)$$

$$\mathbf{B}_{lk} = \int \sum_{m,v=1}^2 \mathbf{L}^{mv} \cdot \mathbf{K}_k(\alpha, h_j, \gamma_j, \theta_{1j}, \theta_{2j}) \exp[-\lambda_{m1} h_1] d\alpha \quad (j=1, \dots, N),$$

$$\boldsymbol{\sigma}^{(l)} = \int \sum_{m,v=1}^2 \mathbf{L}^{mv} \cdot \mathbf{M}(\alpha) \cdot \mathbf{T}^*(\alpha) \exp[-\lambda_{m1} h_1] d\alpha \quad (2.7)$$

**3. Исследование свойств системы.** В результате изучения поведения функций, входящих в выражения  $P(\alpha, 0)$ ,  $Q(\alpha)$ ,  $u^{(1,1)}(\alpha)$ ,  $t^{(1,1)}(\alpha)$  на  $\Gamma$  и использования представления для  $P_n^m(i\lambda_{j1}/\theta_{j1})$  через гипергеометрическую функцию:

$$P_n^m(z) = \frac{2^n \Gamma(n+1/2) z^{n+m}}{(z^2-1)^{m/2} \Gamma(1+n-m)} F\left(-\frac{n+m}{2}, \frac{1-n-m}{2}, \frac{1-2n}{2}, z^{-2}\right); |z| > 1$$

для элементов матриц  $K_k(\alpha, h_j, \gamma_j, \theta_{1j}, \theta_{2j})$  получим равномерные по  $h, \gamma_j, \theta_{ij}$  оценки типа:

$$\begin{aligned} |K_h^{11}(\alpha, h_j, \gamma_j, \theta_{1j}, \theta_{2j})| &< \exp[-h_1|\alpha|] |\alpha|^{h+1}/k! \\ \{C_3 k^{-2} |F(-k/2, (1-k)/2; (1-2k)/2; \theta_{11}^2/(\theta_{11}^2 - \alpha^2))| + \\ + C_4 |F(-(k+1)/2, -k/2; (1-2k)/2; \theta_{11}^2/(\theta_{11}^2 - \alpha^2))| \} \end{aligned}$$

Аналогично для элементов  $L^{mvl}$  можно получить при всех  $p, s, m$  оценки на  $\Gamma$ :

$$\begin{aligned} |L_{ps}^{mvl}(\alpha)| &< |\alpha|^{l+1} \sum_{v=1}^2 \left\{ \frac{C_v}{(l+v)!} \left| F\left(-\frac{l+v}{2}, \frac{1-l-v}{2}; \frac{1-2l}{2}; \right. \right. \right. \\ &\quad \left. \left. \left. \xi^2 \right) \right\} \right. \xi^2 = \theta_{v+1,1}^2 / (\theta_{v+1,1}^2 - \alpha^2), \quad C_j = \text{const} \quad (j=1, 2, 3, 4) \end{aligned}$$

Оценивая далее интеграл в выражении  $B_{lh}$  методом Лапласа при  $l, k \rightarrow +\infty$  имеем

$$\|B_{lh}\| = \sum_{p,s=1}^2 |B_{lh}^{ps}| < \frac{C(l+k+2)!}{h(k+1)! l! (2h)^{l+k+2}}$$

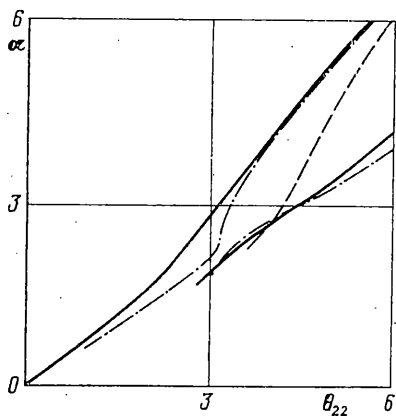
Отсюда  $\sum_{l,h=0}^{\infty} \|B_{lh}\|$  мажорируется рядом ( $C$  – некоторая константа):

$$\frac{C}{h} \sum_{l,h=0}^{\infty} \frac{(l+k)!}{k! l! (2h)^{k+l}} = \frac{C}{h-1} \quad (3.1)$$

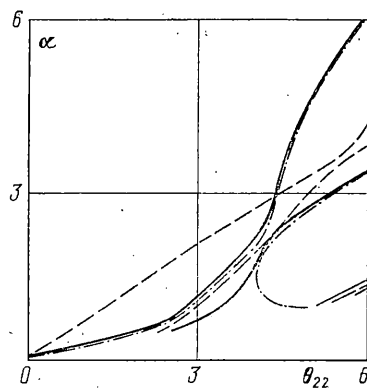
Из оценки (3.1) следует квазивполне регулярность системы (2.6) в пространстве  $l^2$  для полости, целиком погруженной в полупространство ( $h > 1$ ). При условии однозначной разрешимости исходной краевой задачи это определяет единственность решения системы (2.6) и возможность применения к ее исследованию метода редукции.

Практический расчет интегралов в (2.7) показывает, что данный метод исследования краевой задачи эффективен для длин продольных волн в среде, больших или соизмеримых с расстоянием (суммирование по  $j$  от 1 до  $N$ )  $H = \sum h_j$  (случай мелкого и среднего заложения полости). При глубоком заложении полости решение системы можно получить с использованием асимптотических методов расчета интегралов по методике работы [5].

Аналитическое представление решения краевой задачи позволяет сделать ряд практических важных выводов о генерации волн в полуограниченных средах заглубленными источниками. Так, характеристики поверхностных и пограничных волн, распространяющихся вдоль плоских границ  $Z = Z_h$ , определяются распределением нулей и полюсов функций  $K_n(\alpha, h_j, \gamma_j, \theta_{1j}, \theta_{2j})$ . Знаменатель  $K_n$  совпадает со знаменателем подынтегральных функций в выражении (1.1), (1.4) для волновых полей



Фиг. 2



Фиг. 3

в слоистой среде без полости. А следовательно, заглубленный источник возбуждает поверхностные и пограничные волны с теми же фазовыми скоростями, что и источник на поверхности слоистого полупространства. Существенная разница достигается лишь за счет изменения свойств числителя  $K_n$ . Так для двуслойной среды со сферической полостью при соотношении скоростей  $V_{s1} > V_{s2}$ ,  $V_{p1} > V_{p2}$  уменьшение  $V_{s2}$ ,  $V_{p2}$  при фиксированных  $V_{s1}$ ,  $V_{p1}$  и постоянной интенсивности источника приводит к противоположным результатам. Для поверхностного источника амплитуды генерируемых поверхностных и пограничных волн растут, для заглубленного — уменьшаются. Последнее свойство для заглубленной осциллирующей сферы находит свое объяснение в сближении нулей и полюсов выражения  $K_n$  при уменьшении скоростей  $V_{p2}$ ,  $V_{s2}$ . На фиг. 2, 3 показано поведение кривых нулей и полюсов функции  $K_0^{11}$  при следующих параметрах  $\gamma = V_{s2}/V_{s1} = V_{p2}/V_{p1} = 0,6$  для фиг. 2 и  $\gamma = 0,2$  для фиг. 3. При этом, распределение нулей и полюсов функции  $K_0^{11}$  не зависит от глубины залегания полости в полупространстве, а находится в зависимости от соотношения упругих характеристик среды и толщины слоя. Сплошной линией нанесены кривые полюсов. Штриховой — нули  $M_{11}(\alpha)$  для возбуждения среды с поверхности слоя, штрихпунктирной — нули  $K_0^{11}(\alpha)$  при возбуждении среды осциллирующей полостью. Аналитическое представление решения через коэффициенты  $Y_m^{(n)}$  позволяет также рассмотреть трансформацию гармонических волн при отражении от границ области, а также разделение по типам волн в дальней от источника колебаний зоне.

#### СПИСОК ЛИТЕРАТУРЫ

1. Шульга Н. А. Дифракция волн на круговых препятствиях в полуплоскости // Прикл. механика, 1969. Т. 5. № 5. С. 115—119.
2. Алексеева Л. А. О колебаниях упругой полуплоскости, ослабленной круговым отверстием // Изв. АН КазССР. Сер. Физ.-Мат., 1984. № 1. С. 1—5.
3. Головченко А. В. Кругильные колебания полупространства со сферической полостью круговым штампом // Математические методы анализа динамических систем. Харьков: Харьк. авиац. ин-т, 1985. С. 117—124.
4. Ворович И. И., Бабешко В. А. Динамические смешанные задачи теории упругости для неклассических областей. М.: Наука, 1979. 319 с.
5. Румянцева Т. Г., Селезнева Т. Н., Селезнев М. Г. Пространственная задача об установившихся колебаниях упругого полупространства со сферической полостью // ПММ, 1986. Т. 50. Вып. 4. С. 651—656.
6. Ерофеенко В. Т. Связь между основными решениями в цилиндрических и сферических координатах (с одинаковыми началами координат) для некоторых уравнений математической физики // Дифференц. уравнения, 1973. Т. 9. С. 1310—1317.

Ростов н/Д

Поступила в редакцию  
27.VI.1989